

دراسة المؤشرات المورفوتكتونية لأحواض شمال شرق كلار

الكلمات المفتاحية: كلار ، النشاط التكتوني ، المؤشرات الجيومورفولوجية

أ.م.د. هاله محمد سعيد مجيد

نجاح صالح هادي

جامعة ديالى/كلية التربية للعلوم الإنسانية

iraqprof@yahoo.com

najahsalih760@gmail.com

تاريخ قبول نشر البحث ٤/١١/٢٠٢٠

٢٠٢٠/١٠/١٠ تاريخ استلام البحث

الملخص

تناول البحث المؤشرات التكتونية لأحواض شمال شرق كلار والتعرف على طبيعة فاعلية النشاط التكتوني من خلال استخدام معادلات حسابية للمؤشرات الجيومورفولوجية للأودية النهرية التي يمكن الاستدلال من خلالها على حدوث نشاط تكتوني في منطقة ما ، وذلك باستخدام انموذج الارتفاع الرقمي Arc Dem برنامج GIS 10.4 اذ تم تحديد (١٠) أحواض مائية وقد اظهرت نتائج قياس المؤشرات التكتونية ضمن أحواض منطقة الدراسة ثلات مستويات للفاعلية التكتونية اعتماداً على اهم التصانيف التكتونية المعتمدة ، اذ سجلت (٣) أحواض نشاط تكتوني عالي وتتمثل بالأحواض (٩،٨،٢) ، و(٦) أحواض ذات نشاط تكتوني معتدل وتتمثل بالأحواض (١٠،٥،٦،٤،٣) ، في حين اظهرت الدراسة ان الحوض (٧) ذو نشاط تكتوني منخفض ، ولأجل بلوغ اهداف البحث والتحقق من فرضياته ومعالجة مشكلته جاءت الدراسة على وفق الفقرات الآتية:-

اولاً: مشكلة البحث

- تتلخص مشكلة البحث في طرح السؤال الآتي : _ هل تتبادر أحواض شمال شرق كلار بشدة تأثيرها بالنشاط التكتوني بمستويات متباينة ضمن أحواض منطقة الدراسة وهل لهذا النشاط التكتوني تأثير على العمليات الجيومورفولوجية ضمن منطقة الدراسة؟

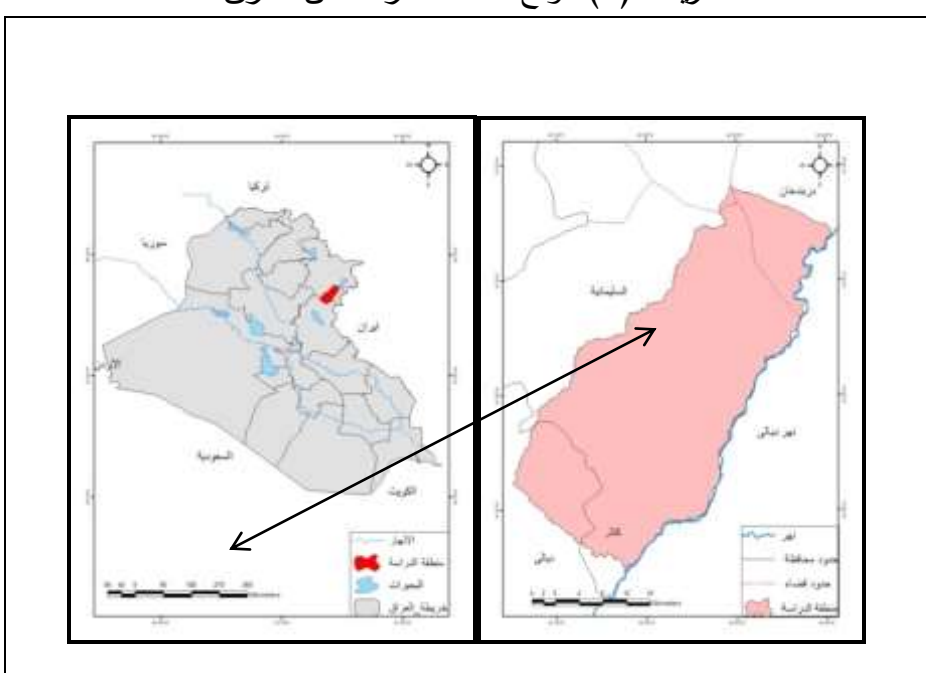
ثانياً : فرضية البحث

- تباين شدة النشاط التكتوني ضمن احواض منطقة الدراسة الامر الذي يؤدي الى وجود مستويات خطورة متباعدة من حوض الى اخر نتيجة لعدة عوامل مسببة منها التكوينات الجيولوجية و التراكيب الخطية .

ثالثاً : موقع منطقة البحث

تقع المنطقة اداريا ضمن الجزء الشمالي الشرقي من العراق في الجزء الجنوبي ضمن حدود محافظة السليمانية ،اذ تحدها من جهة الشمال بحيرة دريندakan وقضاء جمجمال ومن جهة الشرق نهر ديالى ومن جهة الغرب محافظة السليمانية اما من جهة الجنوب فتحدها محافظة ديالى ، اما فلكيا فإنها تقع ما بين دائرتى عرض (٣٥.١٠ - ٣٤.٤٠) شمالا وخطي طول (٤٥.٤٠ - ٤٥.١٠) شرقا الخريطة (١)، اما الحدود الزمانية تمتد (٢٠١٨ - ٢٠٢٠) .

خريطة (١) موقع منطقة الدراسة من العراق



المصدر من عمل الباحثة بالاعتماد على:- وزارة الموارد المائية ، الهيئة العامة للمساحة، الخريطة الادارية للعراق بمقاييس ١:١٠٥٠٠٠٠٠، بغداد ٢٠١١، والخريطه الطبوغرافية للوحدة السليمانية ، مقياس رسم ١:١٠٠٠٠٠، باستخدام برنامج Arc GIS 10.4.

رابعاً : المقدمة

Introduction

ترتكز الجيومورفولوجية البنوية على تطبيق الطرق الكمية الحديثة اذ انها تعتمد على تطبيق معادلات حسابية ذات مدلولات جيومورفولوجية من اجل تحديد فعالية النشاط التكتوني ، يتم من خلالها توضيح دور التشوهات البنوية في تشكيل الوحدات الجيومورفولوجية في اشارة منها على حدوث النشاط التكتوني ضمن منطقة الدراسة وبالتالي الامر الذي يؤدي الى زيادة نشاط العمليات الجيومورفولوجية التعروية والارسابية ، من خلال الاستعانة بالتقدم العلمي وتقنيات الاستشعار عن بعد والمرئيات الفضائية ونظم المعلومات الجغرافية باستخدام نموذج الارتفاع الرقمي (DEM) و برنامج (Arc GIS 10.4) الذي ساعد على معالجة البيانات الرقمية والتوصل الى نتائج دقيقة اذ انها اسهمت في معرفة الاشكال الارضية وبالتالي تحليل وتفسير التغيرات الحاصلة فيها.

خامساً: المؤشرات الجيومورفولوجية :-

١- مؤشر طول المجرى ودرجة انحداره SL (Stream Length – Gradient Index) يشير هذا المؤشر الى حساب طول المجرى اذ يستخدم لتقدير مقاومة الصخور لعمليات التآكل (التعرية المائية) وعلاقتها بفعاليات الانشطة التكتونية ، ويتأثر هذا المؤشر بدرجة الانحدار وتدرج قناة وادي النهر فضلا عن انه يرتبط بقوة الجريان اذ انها توضح مدى طول او قصر قناة التصريف وقدرة الجريان ترتبط بمقدار التعرية والتآكل ونقل الرواسب ^(١) ، لذا فان قوة الجريان تعد متغيرة هيدرولوجيا مهما تقدر شدة الانحدار والتصريف المائي ، تم تصنيف قيم المؤشر الى ثلاثة فئات اعتمادا على جدول (١) اذ تدل قيم SL المرتفعة الى حدوث فعالية تكتونية عالية اذ تشير الى وجود صخور صلبة وشديدة المقاومة لعمليات التعرية اما القيم المنخفضة تدل على فعالية تكتونية منخفضة او قليلة الامر الذي يعكس طبيعة الصخور الهشة وقليلة المقاومة لعمليات التعرية و تقارب قيم كمية التصريف المائي ، في حين تدل قيم الشذوذ بين القيم المرتفعة والقيم المنخفضة على وجود تغير في كمية التصريف الامر الذي يعكس تأثير وسيطرة العامل الصخاري او التكتوني على المنحدر وضمن منطقة وادي النهر ^(٢)، تم حساب قيم المؤشر بالاعتماد على المعادلة الآتية ^(٣):-

$$SL = (\Delta H / \Delta L) L$$

اذ ان :-

L = طول الوادي الكلي

ΔH = فرق الارتفاع في منطقة المصب المحددة

ΔL = طول المسافة المستقيمة في منطقة المصب المحددة

جدول (١) قيم مؤشر طول المجرى و درجة انحداره SL

الاحواض	القيم	الصنف	الدرجة
٩ ، ٦ ، ٥	<٥٠٠	١	عالية النشاط
١٠ ، ٧	٣٠٠ - ٥٠٠	٢	متوسطة النشاط
٨ ، ٤ ، ٣ ، ٢ ، ١	>٣٠٠	٣	قليلة النشاط

-Keller ,E.A. and pinter, N. Active tectonics , Earthquakes , uplift , and landscape .edition ,New Jersey, prentie Hall,2002,p.125.

من خلال تطبيق المعادلة اعلاه تم تصنیف احواض المنطقة الى ٣ فئات كما في الجدول (٢) والشكل (١) والخريطة (٢) وكما يلي :

١ - الفئة (١) وتضم ٣ احواض وهي (٥ ، ٦ ، ٥) اذ سجلت (٨٥٠.٤٨ ، ٦٥٢.٠٠ ، ٥٢٢.٤١) على التوالي .

٢ - الفئة (٢) حوضين هما (٧ ، ١٠) اذ سجلت (٤٤٤.٤٦ ، ٣٨٨.٥٣) على التوالي.

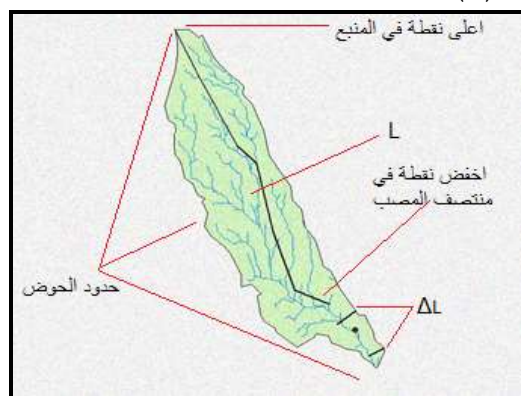
٣ - الفئة (٣) وتضم ٥ احواض هي (١ ، ٢ ، ٣ ، ٤ ، ٨) اذ سجلت (١١١.٥٨ ، ٢١٢.٤٠ ، ١٥٨.٢٨ ، ٢٣٣.٤٦ ، ٢٣٧.٥٣) على التوالي

جدول (٢) مؤشر طول المجرى و درجة انحداره ضمن احواض المنطقة

الدرجة	الصنف	SL	H	L	m/L	الاحواض
منخفضة النشاط	٣	212.40	37	6178	35465	1
منخفضة النشاط	٣	111.58	19	3176	18652	2
منخفضة النشاط	٣	158.28	29	3859	21062	3
منخفضة النشاط	٣	233.46	29	2941	23676	4
عالية النشاط	١	652.00	78	2802	23422	5
عالية النشاط	١	580.48	96	2548	15407	6
معدلة النشاط	٢	444.46	60	3125	23149	7
منخفضة النشاط	٣	237.53	38	1891	11820	8
عالية النشاط	١	522.41	99	2113	11150	9
معدلة النشاط	٢	388.53	65	2788	16665	10

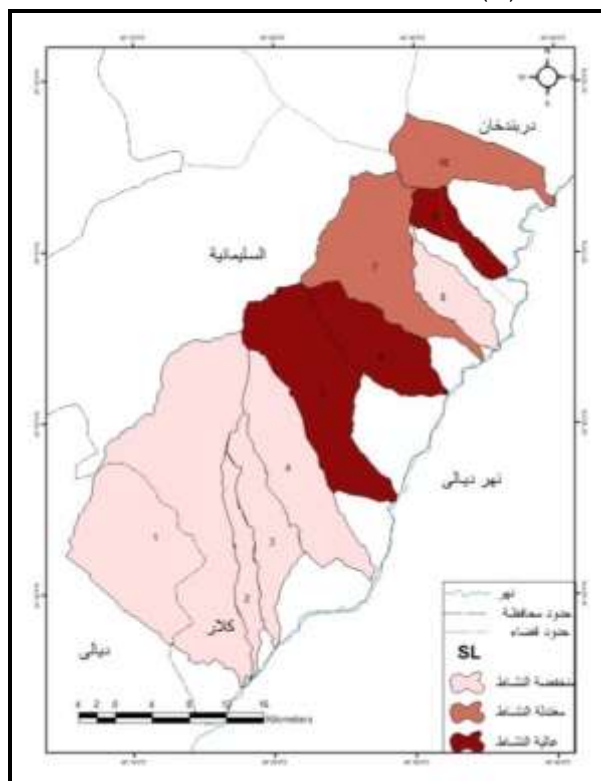
المصدر من عمل الباحثة بالاعتماد على نتائج جدول (1) باستخدام انموذج الارتفاع الرقمي Dem و برنامج Arc GIS 10.4

شكل (١) مؤشر طول المجرى و درجة انحداره SL



.Arc GIS 10.4 اعتمادا على معايير مؤشر طول المجرى و درجة انحداره باستخدام برنامج

خريطة (٢) مؤشر طول المجرى و درجة انحداره SL



المصدر من عمل الباحثة بالاعتماد على نتائج جدول (2) باستخدام انموذج الارتفاع الرقمي Dem و برنامج Arc GIS 10.4

- عرض ارضية الوادي الى ارتفاع الوادي (Ratio of Valley Floor Width to Valley Height)

يشير الى الفرق بين ارضية الاودية التي تظهر بشكل حرف (V) اذ تشكلت نتيجة لارتفاع معدل التنشيط التكتوني لصخور القاعدة (الطبقة تحت السطحية) وبين ارضية الاودية التي تظهر بشكل حرف (U) التي نتجت بسبب التعرية الجانبية للأودية المنحدرة اسفل التلال والتي تعكس فعالية تكتونية منخفضة ، اذ تمتاز قيم مؤشر (VF) بالانخفاض عن منابع الاحواض والتي تعكس تكتونية عالية وتزداد القيم تدريجيا كلما تقدمنا نحو منطقة المصب والتي تمتاز بتكتونية منخفضة(٤) ، اذ تم تصنيف المؤشر الى ثلاثة اصناف اعتمادا على جدول (٣) وحسب المعادلة الآتية(٥) :

$$VF = 2Vfw / [(Eld - Esc) + (Erd - Esc)]$$

اذ ان

Vfw = عرض ارضية الوادي

Eld = ارتفاع الجانب اليسير من الوادي

Erd = ارتفاع الجانب اليمين من الوادي

Esc = معدل ارتفاع ارضية الوادي

جدول (٣) قيم مؤشر عرض ارضية الوادي الى ارتفاع الوادي VF

الاحواض	القيمة	الصنف	الدرجة
١٠، ٨، ٧، ٥، ٤، ٢، ١	> ١.٢	١	عالية النشاط
----	٢.٨ - ١.٢	٢	معتدلة النشاط
٩، ٦، ٣	< ٢.٨	٣	منخفضة النشاط

-R,E, Hamdouni ,C. Irigaray, T, Fernandes ,J,Chacon, E,A,Keller, Assessment of relative active tectonic ,south west border , of Sierra Novada,(southern spain),Geomorphology,2008, p.150.

تم اخذ مقطع عرضي لكل حوض من احواض المنطقة باستخدام برنامج Glopal Mapper ومن ثم استخراج القياسات المطلوبة للمعادلة ومن ثم تطبيق المعادلة اذ تم تصنيف احواض المنطقة الى ٣ فئات كما في الجدول (٣) و(٤) والخريطة (٣) والشكل (٢) وكما

يلي

- ١- الفئة (١) وتضم ٧ أحواض هي (١، ٢، ٤، ٥، ٧، ٨، ١٠) اذ سجلت (٣٧.٥٠، ٢٦.٢٥، ٤٣.٥٦، ٥.٣٢، ٦.٦٢، ١٣.٣٣، ٨.٨٩) على التوالي.
- ٢- الفئة (٢) ولم تظهر هذه الفئة في اي من أحواض المنطقة
- ٣- الفئة (٣) وتضم ٣ أحواض هي (٣، ٦، ٩) اذ سجلت (٠٠.٩، ١.١٤، ٠.٩) على التوالي.

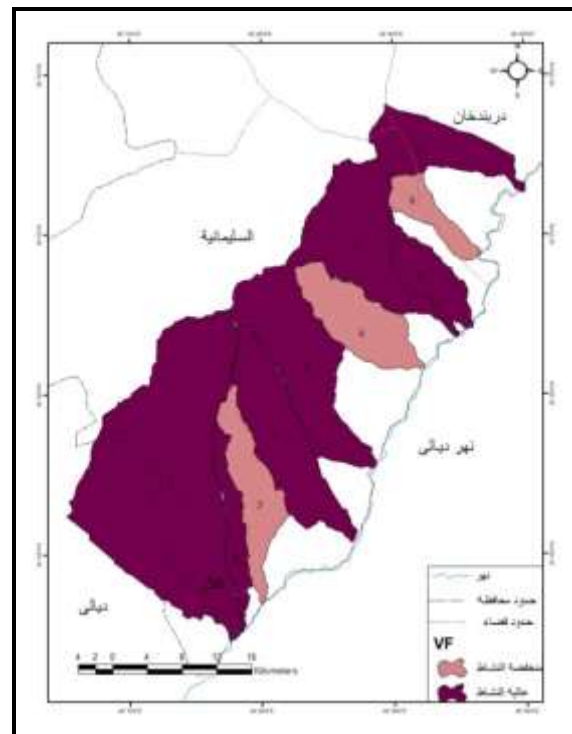
جدول (٤) مؤشر عرض ارضية الوادي الى ارتفاع الوادي VF ضمن أحواض المنطقة

الدرجة	الصنف	Vf	ارتفاع الجانب الايسير Eld	ارتفاع الجانب الاين ERD	معدل ارتفاع ارضية الوادي Esc	عرض ارضية الوادي Vfw	الاحواض
منخفضة النشاط	1	37.50	194	194	192	75	1
منخفضة النشاط	1	26.25	198.8	200	197	63	2
عالية النشاط	3	0.96	218	218.5	212	6	3
منخفضة النشاط	١	43.56	238	238.5	236	98	4
منخفضة النشاط	١	5.32	327	325	295	165	5
عالية النشاط	3	1.14	445	425	325	125	6
منخفضة النشاط	١	6.62	397	380	350	255	7
منخفضة النشاط	١	13.33	335	329	320	160	8
عالية النشاط	٣	0.90	357	358	332	23	9
منخفضة النشاط	١	8.89	408	379	380	120	10

المصدر من عمل الباحثة بالاعتماد على نتائج جدول (٣) و انموذج الارتفاع الرقمي DEM و برنامج

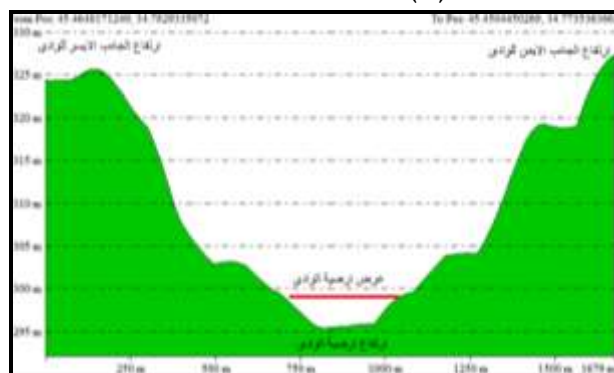
Arc GIS 10.4

خريطة (٣) مؤشر vf لأحواض المنطقة



المصدر من عمل الباحثة بالاعتماد على نتائج جدول (٤) باستخدام انموذج الارتفاع الرقمي Dem وبرنامج Arc GIS 10.4

شكل (٢) طريقة تمثيل قياسات معادلة مؤشر VF



المصدر من عمل الباحثة اعتماداً على انموذج الارتفاع الرقمي Dem باستخدام برنامج Glopel mapper 10.4

٣- مؤشر التمايز الطبوغرافي المستعرض T (Topographic Symmetry Factor)

مؤشر مورفولوجي كمي يساهم في تحديد تباين التمايز للحوض ، اذ يشير الى مدى هجرة المجرى الرئيسي للحوض المائي عن محور الحوض اذ ان حدوث مثل هكذا تغيرات في مجرى الحوض يكون انعكاسا لعملية النشاط التكتوني في المنطقة اذ انه كلما زاد التغير كلما دل على فعالية النشاط التكتوني ويعزى سبب هذا النزوح او الهجرة هو وجود صدوع تحت سطحية اثرت على المجرى ، وتتمثل قيمه بمديات تتراوح ما بين (٠ - ١) والذي يعكس عدم

تماثل تام او تعرجا نسبيا ، اذ انه كلما اتجهت القيم لهذا المؤشر نحو الـ(٠) كلما اتجهت نحو التماثل والعكس صحيح اي انه كلما اتجهت القيم نحو الـ(١) اتجهت نحو عدم التماثل (النزوح) والذي يبين حالة التأثير بتعرج الطبقة السفلية (طبقة تحت السطحية) او تصدعها الامر الذي يؤدي وبالتالي الى نزوح المجرى الرئيس للحوض مع اتجاه الصدوع تحت السطحية(٦)، تم استخراج مؤشر التماثل الطبوغرافي من المعادلة الآتية(٧):

$$T = Da/Dd$$

اذ ان

Da = المسافة من الخط الوسطي للحوض الى خط منتصف المجرى الرئيسي المتعرج للحوض.

Dd = المسافة من الخط الوسطي الى خط الحد الخارجي عند الوسط (خط تقسيم المياه)

جدول (٥) قيم مؤشر التماثل الطبوغرافي T

الاحواض	القيمة	الصنف	الدرجة
٣، ١	< ٠.٦	١	عالية النشاط
١٠، ٩، ٤، ٢	٠.٣ - ٠.٦	٢	معتدلة النشاط
٨، ٧، ٦، ٥	> ٠.٣	٣	منخفضة النشاط

-Edvin AsatourDizaj Takieh,ManochehrGhorashi, Fereydn Rezaie , The Transverse Topographic Symmetry Factor of Darakeh Stream in the North Tehran ,Iran , Open Journal of Geology ,2015,p.772.

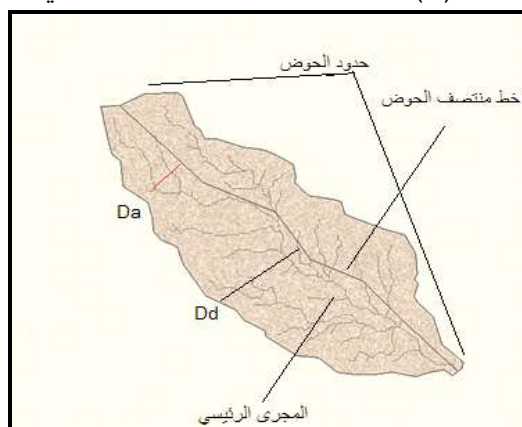
وعليه تم تصنیف مؤشر التماثل الطبوغرافي الى ٣ فئات اعتمادا على المعادلة كما في الجدول (٥) و(٦) والخريطة (٤) والشكل (٣) وكما يلي

١-الفئة (١) يمثل الاحواض عالية النشاط وتضمنت حوضين هما (١، ٣) اذ بلغت (٠.٦٧ ، ٠.٧٧) على التوالي، اذ يوضح نزوح المجرى الرئيسي عن محور الحوض نتيجة لتعرج المنطقة السطحية التي تكونت بسبب زيادة النشاط التكتوني

٢-الفئة (٢) يمثل الاحواض معتدلة النشاط وتضمنت ٤ احواض هي (٢، ٩، ٤، ١٠) اذ سجلت (٠.٤٦ ، ٠.٤٠ ، ٠.٤٢ ، ٠.٣٣) على التوالي ، اذ يكون النزوح بشكل اضعف او اقل مما هو عليه في الفئة (١)

٣-الفئة (٣) يمثل الأحواض منخفضة النشاط وتضمنت ٤ أحواض هي (٥، ٦، ٧، ٨) اذ سجلت (٠٠١٩، ٠٠١٨، ٠٠٢٢، ٠٠٢٤) على التوالي، اذ يكون في الأحواض القريبة من التماثل او انها متناظرة في سيرها وبالتالي يؤدي الى قلة او عدم انحراف مجرها عن اتجاهات سيرها المفترضة وهذا يؤدي الى قلة النشاط التكتوني فيها.

شكل (٣) قياس مؤشر التماثل الطبوغرافي T



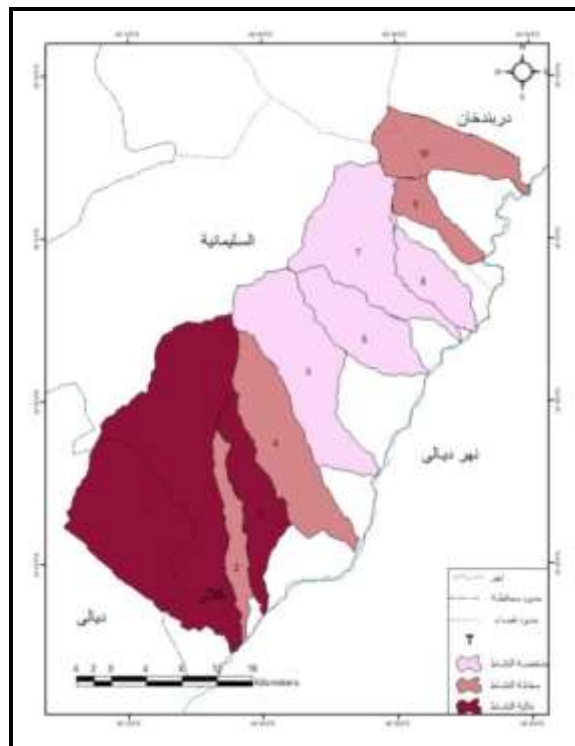
المصدر من عمل الباحثة اعتماداً على معادلة التماثل الطبوغرافي باستخدام برنامج Arc GIS 10.4

جدول (٦) مؤشر التماثل الطبوغرافي لأحواض المنطقة T

الدرجة	الصنف	T	Dd	DA	الاحواض
عالية النشاط	1	0.67	10	6.7	1
معتدلة النشاط	2	0.46	1.38	0.63	2
عالية النشاط	1	0.77	2.23	1.72	3
معتدلة النشاط	2	0.40	4.8	1.9	4
منخفضة النشاط	3	0.24	3.59	0.85	5
منخفضة النشاط	3	0.22	4.32	0.94	6
منخفضة النشاط	3	0.18	2.74	0.48	7
منخفضة النشاط	3	0.19	3.58	0.68	8
معتدلة النشاط	2	0.42	1.46	0.61	9
معتدلة النشاط	2	0.33	3.45	1.15	10

المصدر من عمل الباحثة بالاعتماد نتائج جدول (٥) على نموذج الارتفاع الرقمي Dem و برنامج Arc GIS 10.4

خريطة (٤) مؤشر التماثل الطبوغرافي لأحواض المنطقة T



المصدر من عمل الباحثة بالاعتماد على نتائج جدول (٦) باستخدام انموذج الارتفاع الرقمي Dem و برنامج Arc GIS 10.4

٤ - مؤشر عدم التمايز (Asymmetry Factor) AF

مؤشر مورفومترى مساحي يشير الى قياس ميل جانبي الحوض بالنسبة للمجرى الرئيسي في الحوض المائي والتي نتجت بفعل تأثيرها بالقوى التكتونية، تم استخراج هذا المؤشر اعتمادا على المعادلة الآتية (٨) :

$$AF = 100 (AR/AT)$$

اذ ان

AR = مساحة الحوض في الجهة اليمنى للمجرى الرئيسي باتجاه اسفل الحوض (المصب)

AT = المساحة الكلية للحوض المائي

جدول (٧) قيم مؤشر عدم التمايز AF لأحواض المنطقة

الاحواض	القيمة	الصنف	الدرجة
٨ ، ٦	<٦٥	١	عالية النشاط
١٠ ، ٩ ، ٤ ، ٢	٥٧ - ٦٥	٢	معتدلة النشاط
٧ ، ٥ ، ٣ ، ١	>٥٧	٣	منخفضة النشاط

-Keller,E.A. and pinter, N.Active tectonics , Earthquakes , uplift , and landscape .edition. New Jersey, prentie Hall,2002,p.125

اذ ان القيم التي تكون قيمتها (50) فاكثر تشير الى حدوث ميل في الحوض وان روافده تكون معرضة الى التدوير او التقوس والتحدب وهذا يؤثر على اطوال الروافد على جانبي المجرى الرئيسي للحوض وهذا يدل على ان الانحناء او التدوير يكون من الجانب الايسر اي ان روافد هذه الجهة تكون اقصر مما هو عليه في الجانب اليمين وبالتالي هذا يعكس عدم التمايز وتأثير المنطقة بعملية النشاط التكتوني والانخفاض النسبي للكتل المنفصلة^(٩) ، وبعد تطبيق معادلة اعلاه تم تصنيف احواض منطقة الدراسة الى ٣ فئات كما في الجدول (٧) و(٨) والخريطة (٥) والشكل (٤) وكما يلي

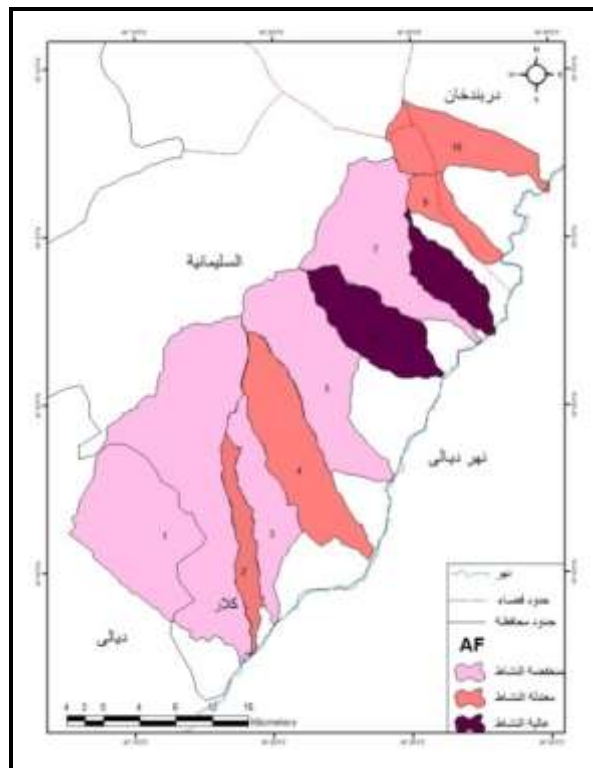
- ١ - الفئة (١) القيم الاكبر من ٦٥ وتظهر في حوضين هما (٦، ٨) اذ سجلت (٦٥.٥، ٨٠.٤) على التوالي اذ تتميز بنشاط تكتوني عالي
- ٢ - الفئة (٢) القيم ٥٧ - ٦٥ وتظهر في ٤ احواض هي (٢، ٤، ٩، ١٠) اذ سجلت (٦٢، ٥٨.١، ٥٩.٣، ٦٠.٨) على التوالي اذ تتميز بنشاط تكتوني معتدل
- ٣ - الفئة (٣) ويمثل القيم الاقل من ٥٧ وتظهر في ٤ احواض هي (١، ٣، ٥، ٧) اذ سجلت (١٦.٣، ٣٣.٨، ٣١.٤، ٥٤.١) على التوالي اذ تتميز بنشاط تكتوني منخفض

جدول (٨) مؤشر عدم التمايز AF لأحواض المنطقة

الدرجة	الصنف	AF	AT	AR	الاحواض
منخفضة النشاط	3	16.3	435	71	1
منخفضة النشاط	3	٦٢	٥٠	٣١	٢
معتدلة النشاط	٢	٣٣.٨	٦٥	٢٢	٣
معتدلة النشاط	٢	٥٩.٣	١٣٥	٨٠	٤
منخفضة النشاط	3	31.4	159	50	5
عالية النشاط	1	65.5	87	57	6
منخفضة النشاط	3	54.1	148	80	7
عالية النشاط	1	80.4	46	37	8
معتدلة النشاط	2	58.1	43	25	9
معتدلة النشاط	2	60.8	79	48	10

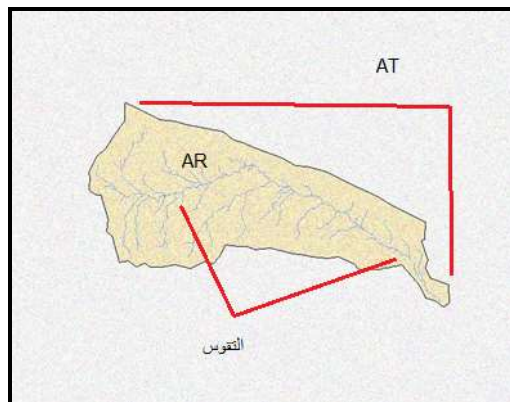
المصدر من عمل الباحثة اعتمادا على نتائج جدول (٧) ونموذج الارتفاع الرقمي Dem و برنامج Arc GIS 10.4.

خريطة (٥) مؤشر عدم التمايز لأحواض المنطقة AF



المصدر من عمل الباحثة اعتماداً على نتائج جدول (٨) ونمودج الارتفاع الرقمي Dem وبرنامج Arc GIS 10.4

الشكل (٤) قياس مؤشر عدم التمايز AF



المصدر من عمل الباحثة اعتماداً على معادلة عدم التمايز باستخدام برنامج Arc GIS 10.4

٥ - مؤشر تعرج مقدمة الجبل SMF

تكشف جيومورفية الجبهات الجبلية معلومات حيوية بشأن النشاط التكتوني الحالي والماضي الذي يحدث على طولها. وتُعرَّف الجبهات الجبلية بأنها جروف طوبوغرافية تحدُّها الصدوع

الرئيسة وانها قابلة للقياس تتجاوز الفاصل الكنتوري (٢٠) م ،وتقاس درجة التعديل التأكلي للتراكيب التكتونية وتتطور شكل الأرض بممؤشر تعرج جبهة الجبل (Smf)، يتم تعريف المؤشر (Smf) على أنه النسبة بين (Lmf) طول جبهة الجبل على طول قاعدته عند كسر متميز في المنحدر و (Ls) طول الخط المستقيم للجبهة الجبلية بأكملها ،ويستند المؤشر إلى فرضية أن الجبهات الجبلية النشطة من الناحية التكتونية غالباً ما تكون أكثر استقامه من الجبهات الجبلية في المناطق التي تهيمن فيها التعرية على التكتونية، اذ يعد من المؤشرات التي تستخدم لقياس التشكيل الارضي والنشاط الزلزالي ، فهو يشير الى حالة التوازن بين انحدار المرتفعات لإدامه واجهة شديدة الاستقامه ، وبين التعرية الناتجة من خلال الجداول ، اي حالة التوازن ما بين عملية الرفع وعمليات التعرية ، التي تؤدي الى تشكيل غير منتظم في الواجهة وبمرور الوقت ينشأ وضع تضاريس متعرج اي تؤدي الى شذوذ طبوغرافي لواجهة الجبل، وهو بذلك يعكس التوازن بين التعرية والقوى التكتونية المشكلة لواجهة الجبل (١)، وتم اعتماد المعادلة الآتية:

$$SMF = Lmf / Ls$$

اذ ان

Lms = طول مقدمة الجبل بشكل متعرج

Ls = طول الخط المستقيم لواجهة الجبل

من تطبيق المعادلة اعلاه تم تصنيف احواض المنطقة الى ٣ فئات وكما في الجدول (٩) و (١٠) والخريطة (٦) وكما يلي:-

الفئة (١) تضم حوضين هما (٨، ٩) اذ سجلت (١.٤٧، ١.٣٨) على التوالي.

الفئة (٢) تضم ٦ احواض وهي (١، ٢، ٣، ٤، ٥، ٦) اذ سجلت (٢.٢٠، ١.٩٢، ٢.١٨، ٢.٥٢، ٢.٤٦، ٢.٨٨) على التوالي

الفئة (٣) تضم حوضين هما (٧، ١٠) اذ سجلت (٤.٢٢، ٥.٩٧) على التوالي

جدول (٩) قيم مؤشر تعرج مقدمة الجبل

الاحواض	القيم	الصنف	الدرجة
٩، ٨	١.٦ - ١	٧١	عالية النشاط
٦، ٥، ٤، ٣، ٢، ١	٣ - ١.٦	٢	معتدلة النشاط
١٠، ٧	٥ - ٣	٣	منخفضة النشاط

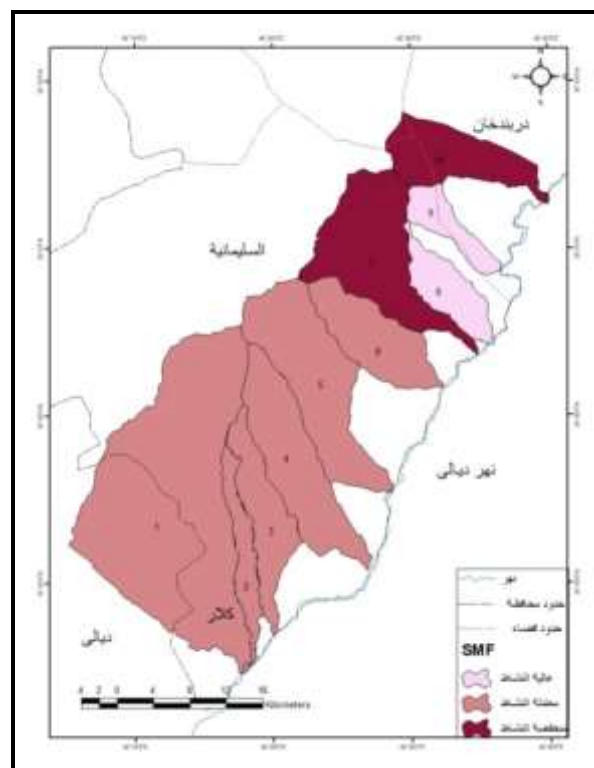
N.Active tectonics , Earthquakes , uplift , and landscape .edition .New Jersey, prentie Hall,2002,p.125.

جدول (١٠) مؤشر تعرج مقدمة الجبل SMF لأحواض المنطقة

الدرجة	الصنف	كم /Smf	طول مقدمة الجبل بشكل مستقيم /كم	طول مقدمة الجبل بشكل متعرج /كم	الاحواض
معتدلة النشاط	٢	2.20	9.135	20.1	1
معتدلة النشاط	٢	1.92	1.85	3.553	2
معتدلة النشاط	٢	2.18	2.293	4.991	3
معتدلة النشاط	٢	2.88	5.991	17.28	4
معتدلة النشاط	٢	2.52	10.3	25.98	5
معتدلة النشاط	٢	2.46	7.5	18.442	6
منخفضة النشاط	٣	5.97	7.691	45.903	7
عالية النشاط	١	1.47	4.708	6.91	8
عالية النشاط	١	1.38	4.422	6.117	9
منخفضة النشاط	٣	4.22	4.936	20.842	10

المصدر من عمل الباحثة اعتماداً على نتائج جدول (٩) وانموذج الارتفاع الرقمي Dem و برنامج Arc GIS 10.4

خريطة (٦) تعرج مقدمة الجبل SMF لأحواض منطقة الدراسة



المصدر من عمل الباحثة اعتماداً على نتائج جدول (10) وانموذج الارتفاع الرقمي Arc GIS 10.4 و برنامج Dem

٦- مؤشر شكل الحوض BS

تميل أحواض الصرف المائي الأحدث نسبياً في المناطق التكتونية النشطة إلى أن تكون أكثر استطالة من شكلها الطبيعي إلى المنحدر الطبوغرافي للجبل، إذ يميل الشكل الاستطالى إلى ان يطور أكثر من الشكل الأكثر استدارة^(١) ، إذ يعد من المؤشرات المورفومترية التي تستخدم في بيان تأثير الحركات التكتونية على شكل الأحواض المائية ومدى اقترابها من الشكل المستطيل ويعبر عنه بالمعادلة الآتية

$$BS = BL / BW$$

BS = شكل حوض التصريف

BL = طول الحوض

BW = عرض الحوض

يستخدم هذا المؤشر للدلالة عن الاختلافات الشكلية لأحواض منطقة الدراسة ، إذ تمثل القيم العالية لهذا المؤشر (BS) حصول نشاط تكتوني عالي وبمعنى آخر اقتراب الشكل من المستطيل في حين أن انخفاض قيمة المؤشر (BS) تشير عدم حصول نشاط تكتوني أي اقتراب الحوض من الشكل الدائري كما في الجدول (١١).

جدول (11) قيم مؤشر شكل الحوض BS لأحواض المنطقة

الدرجة	الصنف	القيمة	الاحواض
عالية النشاط	١	٧ فاكثر	٤، ٣، ٢
معدلة النشاط	٢	٧-٤	١٠، ٩، ٨، ٧، ٥، ١
منخفضة النشاط	٣	٤ فاقل	٦

- Keller,E.A. and pinter, N.Active tectonics , Earthquakes , uplift , and landscape .edition.NewJersey, prentie Hall,2002,p.125.

من خلال تطبيق المعادلة أعلاه تم تصنيف أحواض المنطقة إلى ٣ فئات وكما في الجدول (١٢) والخريطة (٧) كما يلي:

١- الصنف (١) يضم حوضين هما (٢، ٣) اذ سجلت (٨٠.٣، ١٢.٨) على التوالي اذ يكون النشاط التكتوني عالي مما يدل اقتراب شكل الحوض من شكل المستطيل

- الصنف (٢) وتضم ٧ أحواض هي (١، ٤، ٥، ٧، ٨، ٩، ١٠) اذ سجلت (٤.١، ٤.٣، ٤.٦، ٤.٠، ٥.٠) على التوالي اذ يكون النشاط التكتوني معتدل نتيجة لاقرابة شكل الحوض من الشكل المستطيل.
- الصنف (٣) ويضم حوض واحد هو (٦) اذ يكون نشاطه التكتوني منخفض نتيجة اقتراب شكله من الشكل الدائري .

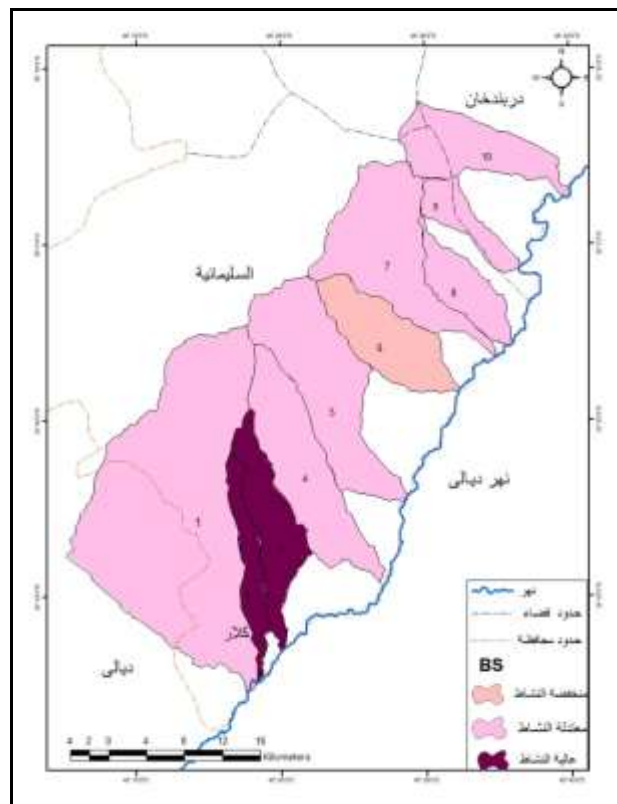
جدول (١٢) مؤشر شكل الحوض BS لأحواض المنطقة

الدرجة	الصنف	BS	عرض الحوض	طول الحوض كم	الاحواض
معتدلة النشاط	٢	4.1	١٠.٢	42.5	١
عالية النشاط	١	12.8	٢٠.٢	28.3	٢
عالية النشاط	١	8.3	٢٠.٤	20.1	٣
معتدلة النشاط	٢	6.0	٤٠.٧	28.6	٤
معتدلة النشاط	٢	4.3	٦٠	26.2	٥
منخفضة النشاط	٣	3.8	٤٠.٧	18.3	٦
معتدلة النشاط	٢	4.3	٥٠.٨	25.4	٧
معتدلة النشاط	٢	5.0	٢٠.٨	16.2	٨
معتدلة النشاط	٢	4.0	٣٠.٢	13.1	٩
معتدلة النشاط	٢	4.6	٤٠.١	19.2	١٠

المصدر من عمل الباحثة اعتمادا على نتائج جدول (١١) وانموذج الارتفاع الرقمي Dem و مخرجات برنامج

Arc GIS 10.4

خرطة (٧) مؤشر شكل الحوض لأحواض المنطقة BS



المصدر من عمل الباحثة بالاعتماد على نتائج جدول (12) باستخدام انموذج الارتفاع الرقمي Dem و برنامج Arc GIS 10.4

- ٧ - مؤشر الفعالية التكتونية النسبية (LAT)

يمثل هذا التصنيف جمع نتائج التصانيف للمؤشرات الجيومورفولوجية ولجميع الاحواض ، اذ يساهم في اعطاء نظرة اكثـر شـمولاً ووضـوها عن مـدى تـأثير هـذه المؤـشرات الجـيومورـفـولـوجـية بالـأنشطة التـكتـونـية ومـدى تـأثيرـه في الـاحـواـض لـمنـطـقة الـدـرـاسـة وـتم استـخـراجـها منـ المـعادـلة الـآتـية (١٢) :-

$$LAT = S/N$$

اـذ ان

LAT = التـصـنـيف الـنهـائي لـمحـصـلة المؤـشرـات النـشـاط التـكتـونـي

S = رقم صـنـف المؤـشر لـكل حـوض مـائي

N = عـدـد المؤـشرـات

وعـلـيـه صـنـفـت الـاحـواـض إـلـى ٣ اـصـنـاف كـمـا فـي الجـدـول (١٣) و (١٤) وـالـخـريـطة (٨) وـكـمـا يـلي :

- ١- الصنف (١) ويضم ٣ أحواض هي (٢، ٨، ١.٨، ١.٨) على التوالي اذ تمثل أحواض عالية النشاط التكتوني
- ٢- الصنف (٢) ويضم ٦ أحواض هي (١، ٣، ٤، ٥، ٦، ١٠) اذ سجلت (٢، ٢، ٢.١، ٢.١، ٢) على التوالي اذ تمثل أحواض معتدلة النشاط التكتوني
- ٣- الصنف (٣) ويضم حوض واحد هو (٧) اذ يمثل حوض منخفض النشاط التكتوني

جدول (١٣) قيم مؤشر الفعالية التكتونية النسبية LAT

الاحواض	القيمة	الصنف	الدرجة
٩، ٨، ٢	>1.8	١	عالية النشاط
١٠، ٦، ٥، ٤، ٣، ١	٢.٣ - ١.٩	٢	معتدلة النشاط
٧	<٢.٣	٣	منخفضة النشاط

-K.S.Jayappa,Vipin Joseph markoes,Nagaraju ,Identification of geomorphic signaturesof Neotectonic activity using Dem in the Precambrian terrain of western ghats ,india, international Archives of the photogrammetry,Remot sensing and seatial ,information science, University Mangalagangothri,Karnataka,India ,2012.p.147.

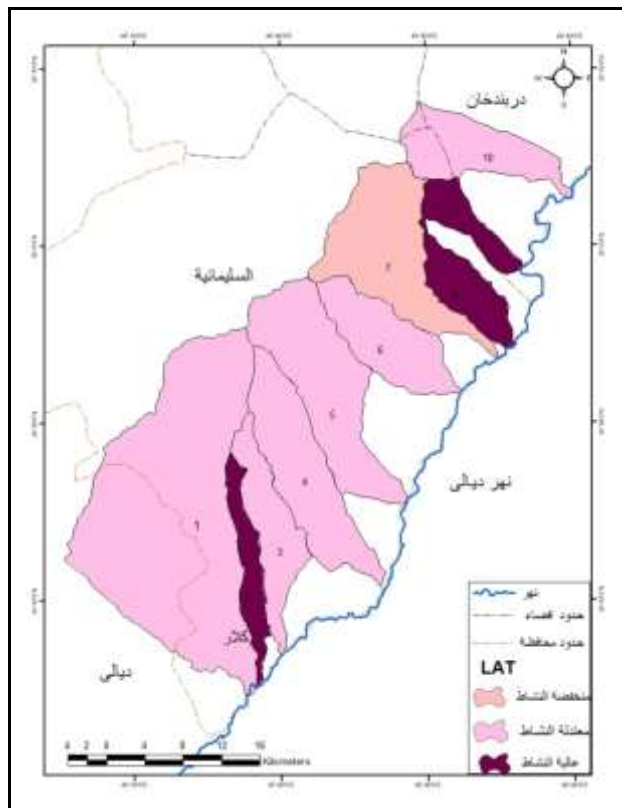
جدول (١٤) قيم مؤشر الفعالية التكتونية النسبية LAT لأحواض المنطقة

الدرجة	الصنف	LAT	S/N	BS	SMF	AF	T	VF	SL	الاحواض
معتدلة النشاط	٢	٢	١٢	٢	٢	٣	١	١	٣	١
عالية النشاط	١	١.٨	١١	١	٢	٢	٢	١	٣	٢
معتدلة النشاط	٢	٢.١	١٣	١	٢	٣	١	٣	٣	٣
معتدلة النشاط	٢	٢	١١	١	٢	٢	٢	١	٣	٤
معتدلة النشاط	٢	٢	١٢	٢	٢	٣	٣	١	١	٥
معتدلة النشاط	٢	٢.١	١٣	٣	٢	١	٣	٣	١	٦
منخفضة النشاط	٣	٢.٥	١٥	٢	٣	٣	٣	١	٢	٧
عالية النشاط	١	١.٨	١١	٢	١	١	٣	١	٣	٨
عالية النشاط	١	١.٨	١١	٢	١	٢	٢	٣	١	٩
معتدلة النشاط	٢	٢	١٢	٢	٣	٢	٢	١	٢	١٠

المصدر من عمل الباحثة بالاعتماد على نتائج جدول (١٣) باستخدام انموذج الارقاع الرقمي Dem ومخرجات برنامج

Arc GIS 10.4

خرائط (٨) مؤشر الفعالية التكتونية النسبية LAT



المصدر من عمل الباحثة بالاعتماد على نتائج جدول (١٤) باستخدام انموذج الارتفاع الرقمي Dem وبرنامج Arc GIS . 10.4

الاستنتاجات

١- اظهرت نتائج قياس المؤشرات التكتونية ضمن احواض منطقة الدراسة ثلاثة مستويات للفاعلية التكتونية اعتمادا على اهم التصانيف التكتونية المعتمدة ، اذ سجلت (٣) احواض نشاط تكتوني عال وتمثل بالأحواض (٢،٨،٩) ، و(٦) احواض ذات نشاط تكتوني معتدل وتمثل بالأحواض (١،٣،٤،٥،٦،١٠) ، في حين اظهرت الدراسة ان الحوض (٧) ذو نشاط تكتوني منخفض .

٢- ان لموقع المنطقة التكتوني الاثر في رسم التشوہات والتركيب الموجودة التي تكونت بفعل النشاط التكتوني ضمن احواض منطقة الدراسة فضلا عن مساهمته في تسارع العمليات الجيومورفولوجية بالتزامن مع تأثير التباين الطبوغرافي والتركيب الجيولوجية .

النوصيات

١- ضرورة دراسة المنطقة من الناحية الجيومورفولوجية وبيان سير العمليات الجيومورفولوجية (التعرية والترسيب) مع بيان تأثيرها في النشاط التكتوني .

٢-استخدام التقنيات الجغرافية الحديثة المتمثلة بنظم المعلومات الجغرافية GIS والاستشعار عن بعد RS لما تتوفره من دقة في المعلومات عن طريق استخدام المرئيات الفضائية ذات الدقة العالية واحتزال الوقت والجهد .

A Study of Morphotectonic Indicators of North-Eastern Kalar Basins

Assist. Prof.

Najah Salih Hadi
University of Diyala

Hala Mohammed Saeed Majeed

College of Education for Humanities

Abstract

The study dealt with the tectonic indicators of the Northeast Basins of Kalar and to identify the nature of the effectiveness of tectonic activity through the use of mathematical equations of geomorphological indicators of river valleys through which it is possible to infer the occurrence of tectonic activity in an area by using the digital elevation model (Dem) Program Arc GIS 10.4 where ten water basins were limited. The results showed the measurement of tectonic indicators within the basins of the study area and three levels of tectonic potency based on the most important approved tectonic classifications, as they recorded (3) basins of high tectonic activity, namely basins (2, 8, 9), and (6) basins with moderate tectonic activity, represented by basins (1, 3, 4, 5, 6, 10), while the study showed that the basin (7) has low tectonic activity.

قائمة الهوامش

- ١- اسحق صالح العكام ، وفاء مازن عبدالله، الخصائص المورفوتكتونية لحوض وادي الطريفاوي ، مجلة كلية التربية للبنات ، العدد (٥) ، المجلد ٢٧ ، ٢٠١٦ ، ص ١٨٢٤ .
- ٢-Carolina Doranti- Tiritan ,Peter Christian Hackspacher ,Daniel Henrique de Souza, Marli Carina Siqueira – Ribeiro, The Use of the Stream Length – Gradient Index in Morphotectonic Analysis of Drainage Basins in Pocos de Caldas Plateau ,SE Brazil ,International Jouenal of Geosciences ,vol 22 ,2014,p.1387.
- ٣-Keller,E.A. and pinter, N.Active tectonics , Earthquakes , uplift , and landscape .edition.NewJersey, prentie Hall,2002,p.125.
- ٤- اسحق صالح العكام ، وفاء مازن عبدالله ، الخصائص المورفوتكتونية لحوض وادي الطريفاوي ، مصدر سابق ، ص ١٨٢٤ .

- ٥-Verrios.,Zygouri.,and Kokkalas ,Morphotectonic Analysis in the Eliki Fault Zone (Gulf of Corinth Greece),Bulletinof the Geological Society of Greece International Congress,2004,p.1708.
- ٦- Mu. Ramkumar, K Kumaraswamy, R. Mohanraj ,Environmental management of river basin ecosystems ,Springer,Swiitzerland,2015,p216.
- ٧- Edvin AsatourDizaj Takieh,ManochehrGhorashi, Fereydn Rezaie , The Transverse Topographic Symmetry Factor of Darakeh Stream in the North Tehran ,Iran , Open Journal of Geology ,2015,p.772.
- ٨-Mehran Arian, Nooshin Bagha ,Rezvan Khavari and Hamideh Noroozpou, Scismic sources and neo – tectonics of Tehran area (North I ran), Indian Journal of Science and Technology ,vol.5 No.3,2012,p.2380.
- ٩-R.R.Navalgund,A. Senthilkumar, subrata Nandy ,Remote Sensing of Northwest Himalayan ecosystems, Springer ,2019 ,p.22.
- ١٠- Arshid Ahmad Dar, Dr Bikram Singh Bali ,Tariq Ah Tahir ,Morphotectonic Study of Bringi stream right bank tributary of river Jhelum SE of Kashmir valley North West Himalayas , International of Current Research and Modern Education (IJCRME) Volume2 ,Issue 2, 2017,p.320.
- ١١- Niloofar Gholamhosein Fard ,Ali Sorbi ,Mehran Arian ,Active Tectonics of Kangavar area , West Iran „open Journal of Geology ,2015,5,p.432-433.
- ١٢- ريم ثاير حبيب، منذر علي طه الخالدي ، دراسة المؤشرات الجيومورفولوجية للنشاط التكتوني في طية بلكانة شمال شرقى الطوز ، مجلة ديالي ، العدد ٧٧ ، ٢٠١٨ ، ص ٤٦٠ .

قائمة المصادر

- حبيب، ريم ثاير ، منذر علي طه الخالدي ، دراسة المؤشرات الجيومورفولوجية للنشاط التكتوني في طية بلكانة شمال شرقى الطوز ، مجلة ديالي ، العدد ٧٧ ، ٢٠١٨ .
- العكام اسحق صالح ، وفاء مازن عبدالله، الخصائص المورفتكتونية لحوض وادي الطريفاوي ، مجلة كلية التربية للبنات ، العدد (٥) ، المجلد ٢٧ ، ٢٠١٦ .
- Arshid Ahmad Dar, Dr Bikram Singh Bali ,Tariq Ah Tahir ,Morphotectonic Study of Bringi stream right bank tributary of river Jhelum SE of Kashmir valley North West Himalayas , International of Current Research and Modern Education (IJCRME) Volume2 ,Issue 2, 2017.
- Carolina Doranti- Tiritan ,Peter Christian Hackspacher ,Daniel Henrique de Souza, Marli Carina Siqueira – Ribeiro, The Use of the Stream Length – Gradient Index in Morphotectonic Analysis of Drainage Basins in Pocos de Caldas Plateau ,SE Brazil ,International Jouenal of Geosciences ,vol 22 ,2014.
- Edvin AsatourDizaj Takieh,ManochehrGhorashi, Fereydn Rezaie , The Transverse Topographic Symmetry Factor of Darakeh Stream in the North Tehran ,Iran , Open Journal of Geology ,2015.

- Keller,E.A. and pinter, N.Active tectonics , Earthquakes , uplift , and landscape .edition.NewJersey, prentie Hall,2002.
- Mehran Arian, Nooshin Bagha ,Rezvan Khavari and Hamideh Noroozpou, Scismic sources and neo – tectonics of Tehran area (North I ran), Indian Journal of Science and Technology ,vol.5 No.3,2012
- Mu. Ramkumar, K Kumaraswamy, R. Mohanraj ,Environmental management of river basin ecosystems ,Springer,Swiitzerland,2015.
- Niloofer Gholamhosein Fard ,Ali Sorbi ,Mehran Arian ,Active Tectonics of Kangavar area , West Iran „open Journal of Geology ,2015.
- R.R.Navalgund,A. Senthilkumar, subrata Nandy ,Remote Sensing of Northwest Himalayan ecosystems, Springer ,2019.
- Verrios.,Zygouri.,and Kokkalas ,Morphotectonic Analysis in the Eliki Fault Zone (Gulf of Corinth Greece),Bulletinof the Geological Society of Greece International Congress,2004.